



13-41-AD-LE-220. - La serie Eoceno-Mioceno inferior del Cerro del Cincho (flanco Sur). En primer término capas de silex (Kilsergur) de la serie blanca (albarizas) ( $x= 428.923$ ,  $y= 300.414$ ).



13-41-AD-LE-221. - Afloramiento de las capas de silex de la base de las Albarizas (Kilsergur) ( $x= 428.950$ ,  $y= 300.390$ ).



13-41-AD-LE-222. - La serie blanca (Albarizas) en los alrededores del Arahál, canteras e industria cerámica.



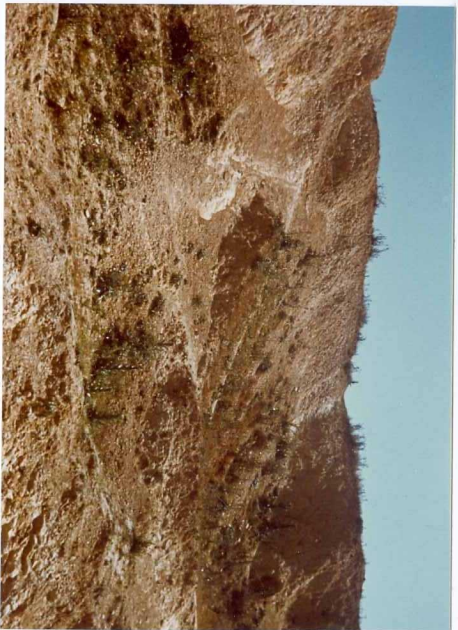
13-41-AD-LE-223. - Cantera en la serie blanca (Albarizas). Obsérvese su tectonización con doble juego de fracturas.



13-41-AD-LE-224.- Detalle de la misma cantera. Obsérvese las dos direcciones de fracturación y la diferencia de litología. En la parte inferior las margas y margocalizas de fractura foliar-concoide, en la superior las masivas de fractura foliar-hojosa.



13-41-AD-LE-225. - Las margas azules y la terraza alta del Guadaira. Puente sobre el río de la carretera de Alcalá de Guadaira-Morón de la Frontera ( $x=412.550$ ,  $y=303.597$ ).



13-41-AD-IE-226. - Detalle de la foto anterior. Margas azules en la base y la terraza alta en la parte superior.





13-41-AD-LE-227. - Vista panorámica del frente estratigráfico de las bio  
micruditas arenosas (calcarenitas) que dan la Mesa de Alcalá de  
Guadaira. (x=415.890, y=305.002).





13-41-AD-LE-228.- Cantera de los mismos materiales en las proximidades de Alcalá de Guadaira. Obsérvese el buzamiento y la estratificación difusa hacia la base, masiva hacia el techo. (x=409.113, y=306.242).



13-41-AD-LE-229.- Biomicruditas arenosas y areniscas calcareas bioclásticas (calcarenitas) en las proximidades de Alcalá de Guadaira. (x= 412.142, y=304.524).



13-41-AD-LE-230.- Areniscas calcareas bioclásticas y calizas bioclásticas (calcarenitas) en una cantera próxima a la carretera Arahal-Morón de la Frontera. (x= 437.180, y=295.527) .



13-41-AD-LE-231.- Estratificación y laminación paralela en estos sedimentos en el mismo afloramiento.



13-41-AD-LE-232.- Estratificación y laminación cruzada en el mismo afloramiento.



13-41-AD-LE-233.- Laminación cruzada bimodal en el mismo afloramiento.



13-41-AD-LE-234. - Las areniscas y calizas arenosas del Arahal se consideran un cambio lateral de la formación anterior, aunque en gran parte son azoicas su posición estratigráfica es idéntica. ( $x= 435.002$ ,  $y=299.267$ ).





13-41-AD-LE-235.- Detalle de la misma formación. Laminación y estratificación paralela y cruzada.



13-41-AD-LE-236.- Laminación paralela y paquete masivo en la misma formación.



13-41-AD-LE-237.- Cantera de un afloramiento de biomicruditas arenosas y areniscas calcáreas bioclásticas (calcarenitas) próxima a la estación de empalme del ferrocarril Utrera-Osuna con el de Utrera-Morón de la Frontera. (x= 424.502, y=290.464) .



13-41-AD-LE-238. - Intradiscordancia dentro de estos sedimentos en la misma cantera.



13-41-AD-LE-239.- Laminación y estratificación cruzada en la misma formación.



13-41-AD-LE-240.- Las arenas del Pliocuaternalario. Cantera próxima a la carretera Utrera-El Coronil. ( $x= 407.849$ ,  $y= 288.653$ ).





13-41-AD-LE-241.- Arenas y margas verde-blanquecinas de la formación marisma. Carretera Utrera-El Coronil. (x=407.839, y=289.394) .



003



13-41-AD-LE-242. - La terraza alta del río Guadaira. Conglomerados, arenas y areniscas. ( $x=412.589$ ,  $y=303.615$ ).



13-41-AD-LE-243. - Detalle de la terraza. Estratificación cruzada en los paleocanales.